

PQ_3

III-1196

τ_{ij} (NO_3 , CO_3 , PO_3 , SO_3 , BO_3 , BCl_3 , BBr_3 ,
 BF_3 , AlCl_3) 1955

Venkateswarlu K., Sundaram S.

J.Chem.Phys., 1955, 23, N 12, 2368-
2369 (contd.)

Evaluation of force constants from
raman effect data. Part 2. Molecules and
radicals of the planar XY_3 type.

PX, 1956, 53654

1961

110 В295. ЭПР и структура ионных радикалов PO_3^-
Horsfield A., Morton J. R., Whiffen D. H.
Electron spin resonance and structure of the ionic radical, PO_3^- . «Molec. Phys.», 1961, 4, № 6, 475—480 (англ.)

Показано, что ионные радикалы могут быть получены действием γ -лучей на пентагидратдинаатрий ортофосфита. Сверхтонкое расщепление, обусловленное ядрами P^{31} , составило 1967, 1514 и 1513 Мгц. Эти данные согласуются с пирамидальной структурой иона OPO_3^- , имеющей угол 110° .

РЖР 1962
10 В295

PO₃

1961

∠OPO = 110°

Electron spin resonance and structure of the ionic radical, PO₃⁻. A. Horsfield, J. R. Morton, and D. H. Whiffen (Natl. Phys. Lab., Teddington, Engl.). *Mol. Phys.* 4, 475-80(1961).—Irradiation of a single crystal of Na₂HPO₄·5H₂O with 1-m.e.v. γ -rays yields the above ionic radical. The data correspond to a P hybridization of $s^{0.95}p^{3.05}$ for the unpaired electron orbital. Assuming C_{3v} symmetry, this gives an OPO bond angle of 110°. W. G. Rothschild

C.A. 1962, 56, 10
10928a

BF_3 , AlCl_3 , PO_3^{3-} (cumulative noes.) 1862
2993-III

Rajalakshmi K. V.

^{etc b}
6 cum

Current Sci. (India), 1962, 31, 329.

Urey-Bradley force field for
planar XY_3 molecules. etc b
cum

10

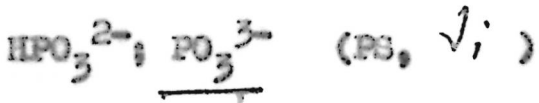
+ 4



CA, 1963, 58, W762078

1963

3835



Steger E., Martin K.

Z. anorg. und allgem. Chem., 1963,
223, N 3-4, 1008-1131

Schwingunspectrum and ...

J

PO₃³⁻

Srinivasacharya K.G., L 1965
Santhamma C.

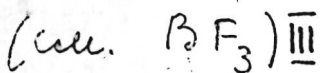
2)

J. Molec. Spectrosc., 15, N 4, 435

см.собре
носн.

Средние амплитуды
коэффициентов сопротивления
краинских и короткочастотных
кориц  исса в мас-

кисл. ацетилпероксиках и
алкоголях и маслах меня
 Al_3 :



PO_3^{3-}

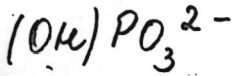
A-700

1968

малекул.
струйст.
лп. синт.
коэффиц.

Nagarajan G.

Indian J. Pure and
Appl. Phys. 1968,
4 (12), 456-60



Müller H.,
Naigarajan G.

1987

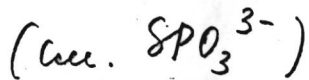
Vi

Z. anorgan. und allgem.
Chem., 349, Nr 1-2, 87-91.

Мн. пост. Среднее значение сопротивления асептическим вязким измерениям в пасторских костях и морских тру-

на ZnY_3 с концентрацией

C_{3v} :



ν_1 , $\text{crys. nuc. } (\text{BO}_3, \text{PO}_3, \text{SO}_3) \text{BF}_3, \text{BCl}_3,$ ¹⁷⁶⁹
 $\bar{\nu} 6634 \quad \text{BBr}_3, \text{BJ}_3, \text{AlCl}_3, \text{WO}_3^-, \text{CO}_3^{--})$

Thirugnanasambandam ⁵P, Srinivasah L.J.

J. Chem. Phys., 1969, 50, no, 2467-2475 (ann)

Molecular force constants. I Planar
 X_3Y_3 molecules.



18

C B

10

Proc. Roy. Soc., 1969, 20551

1971

PO₃

McAloon B.Y.
Perkins P.G.

Kb.-max
paeriem

Theor. chim. acta,

1971, 22, n3, 304.



(C₆.M₃PO₄)III

PH_2 , PF_2 , Pcl_2 , $\text{PF}_2 + \text{Pcl} - \text{PF}_4$, (Kb. Mex.) 1972
 Pcl_4 , PO_2 , PO_3^{2-} , PO_3^- , HPO_2^- , FPO_2^- (pacrem)

Kilcast D., Thomson C., XIII 2051

J. Chem. Soc., Faraday Trans. 2,
1972, 68 (Pt. 3), 435-43 (errr.)

Complete neglect of differential
overlap (CNDO) calculations on
small radicals containing phos-

PO_3^{2-}

1973

Khasanov R. A.

Nizamutdinov N. M.

Kt. mix.
naoren.

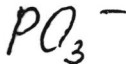
Sostav strukt.

Svoistva mineral., 1973,
57-68 (Russ)



(see PO_2 ; III)

1977



Кб. неех.
расчет.

(+1)

X. 1977

116

16 Б36. Изучение методом молекулярных орбиталей мономерного метаfosфата. Поверхности плотности гравитационных орбиталей, как метод оценки реакционной способности. Loew Leslie M., MacArthur William R. A molecular orbital study of monomeric metaphosphate. Density surfaces of frontier orbitals as a tool in assessing reactivity. «J. Amer. Chem. Soc.», 1977, 99, № 4, 1019—1025 (англ.)

Неэмпирическим методом ССП МО ЛКАО в базисе сгруппированных гауссовых ф-ций ($6\ s$, $3p$, $1d$), ($3s$, $2\ p$, $1d$) и ($3s$, $2p$) для атомов P, N и O соотв., полуэмпирическим методом ССП в приближении ППДП/2 и расширенным методом МО Хюкеля рассчитаны ионы PO_3^- (I) и NO_3^- (II). Неэмпирический расчет I проведен с одновременной оптимизацией расстояний $R(\text{P}-\text{O})$ и показателя экспоненты $d\text{-AO}$ атома P. Оптимальному значению показателя экспоненты 0,34 отвечает $R(\text{P}-\text{O})=1,543$ Å, тогда как расчет в базисе, не включающем $d\text{-AO}$, привел к значению 1,595 Å. Анализ заселенностей по Малликену свидетельствует о существенной роли

$2p$ - $3d$ π -связывания в I в отличие от II, и об ослаблении $2p$ - $3p$ π -связи в I по сравнению с $2p$ - $2p$ π -связью в II. Характерной чертой электронного строения I является наличие низко лежащей вакантной MO σ -типа, близко отстоящей от низшей вакантной MO (НВМО) π -типа. Эта особенность электронного строения I, не имеющая аналога в II, является существенной для понимания различий в реакц. способности I и II по отношению к электрофильным агентам. Указанные различия обсуждены также с помощью построенных поверхностей постоянной электронной плотности двух первых НВМО I и II. Полученные качеств. выводы об электронном строении I и II остаются справедливыми и при переходе к результатам полуэмпирич. расчетов.

В. Фаустов

1972

PO₃Kb. alk.
pacter

§6: 111387b A molecular orbital study of monomeric metaphosphate. Density surfaces of frontier orbitals as a tool in assessing reactivity. Loew, Leslie M.; MacArthur, William R. (Dep. Chem., State Univ. New York, Binghamton, N. Y.). *J. Am. Chem. Soc.* 1977, 99(4), 1019-25 (Eng). The geometry, bonding, charge distribution and reactivity of monomeric metaphosphate, a unique anionic Lewis acid, are explored with ab initio and semiempirical MO calcs. Comparison with calcs. on the isostructural and congeneric nitrate anion places many of these features in perspective. Among the key findings are: (1) a large contribution from 2p-3d π bonding effects not only the P-O overlap population but also the bond length; (2) 2p-3p π bonding is significantly (but not drastically) diminished in PO₃⁻ relative to 2p-2p π bonding in NO₃⁻; (3) the electrophilic reactivity of this unstable intermediate may be ascribed to the presence of a low-lying unoccupied acceptor orbital of σ symmetry which is nearly degenerate with the usual π^* MO. Isodensity surface plots and plots of d. in a plane are presented for the acceptor orbitals of PO₃⁻ and NO₃⁻; these allow a thorough qual. perturbation theory anal. of their relative reactivities. Extensions of this anal. to other systems are suggested.

C.A. 1972, 86 N 16

PO_3^-

Commerce 8131 | 1979

Rb. Mex.
1 acre

Bowling R. et
al.

J. Electron. Spectrosc.
and Relat. Phenom.

1979, 17, 25-32

PO₃

Lommuck 9087

1979

Jothi A. et al

CITE. Bull. Soc. Chim. Belg.,
NOCT. 1979, 88, n°10, 481-6



Cite Acces ; III

PO_3^-

Lommel 11688

1981

PO_3

Cutsov L. I. et al.

$\gamma, \Delta\epsilon$

dr. phys.

Chem. Phys., 1981, 56
274 - 83



(ac BO_2^-) III

PO₃

1981

Түзеб Т. С. и. гр.

Жерни
сроки
проверки 1981, 26, № 2557-2560.

(сост. BO₂; III)

PO_3^-

1981

Түүхөн Т. Р. и гп.

дачийн
засгийн
глобусын
стереоскоп.

НР. калорим. дүрүүдэл,
1981, 26, №, 2353-2354.

(см. BO_2^- ; III)

PO_3

1982

Carlowitz Sierhild.,
et al.

Pi, M.N., J. Mol. Struct., 1982,
vol. noei., 87, N2, Seppel.: Theo-
gen. reo- chem. 4, N2, 113-124.
• merui.

(ca. CH_3POF_2 ; II)

PO_3^{2-}

1983

100: 56980v Study of three- and four-coordinate radicals formed from phosphinate and phosphonate by the semiempirical quantum-chemical CNDO/2 method. Muratbekov, M. B.; Zhanpeisov, N. U.; Beremzhanov, B. A. (Kaz. Gos. Univ., Alma-Ata, USSR). *Izv. Akad. Nauk Kaz. SSR, Ser. Khim.* 1983, (4), 3-8 (Russ.). The radicals PO_3^{2-} , $\text{PO}_2(\text{OH})^-$, $\text{P}(\text{O})(\text{OH})_2$, PHO_2^- , PH_4^+ , PH_2O_2^- , PHO_3^- , PO_4^{2-} , PH_2O_2^- and PHO_3^- were studied by the title method.

mcop. parim

610

C.A. 1984, 100, n8

103²⁻

1983

з Б1040. Исследование трех- и четырехкоординированных радикалов, образующихся из фосфината и фосфоната, полуэмпирическим квантовохимическим методом ППДП/2. Муратбеков М. Б., Жанпенсов Н. У., Беремжанов Б. А. «Изв. АН КазССР. Сер. хим.», 1983, № 4, 3—8 (рус.; рез. каз.)

Методом ССП МО ЛКАО в валентном приближении ППДП/2 проведены расчеты электронного строения фосфинат- и фосфонат-анионов и родственных трех- и четырехкоординированных радикалов, PO_3^{2-} , $\text{PO}_2(\text{OH})^-$, $\text{PO}(\text{OH})_2$, PHO_2^- , PH_4 , PH_2O_2 , PHO_3^- , PO_4^{2-} с ограниченной оптимизацией геометрии. Приведены рассчитанные геометрич. параметры и распределения спиновой плотности. Найдено, что в отличие от трехкоординированных радикалов, образующихся из фосфината и фосфоната в результате непосредственного отрыва атома H, четырехкоординированные радикалы, образующиеся путем отрыва электрона, являются нефосфорцентрированными.

А. Багатурьянц

район геолемп.
структур.

(77)

X. 1984, 19, n3.

PO_3^{2-}

№ 16607

1983

17 Б38. Электронное строение и магнитные свойства радикала PO_3^{2-} . Расчет методом молекулярных орбиталей. Electronic structure and magnetic properties of the PO_3^{2-} radical: a molecular-orbital study. Weber J., Cognioley Y., Geoffroy M. «Chem. Phys. Lett.», 1983, № 96, 636—640 (англ.)

Х α -методом рассеянных волн (РВ) выполнен расчет электронного строения радикала PO_3^{2-} . Принята C_{3v} симметрия радикала с тетраэдрич. значением валентного угла и с $r(\text{P}—\text{O})=1,55$ Å. Расчеты проведены в рамках как спин-ограниченного (СО), так и неограниченного (СН) метода Хартри—Фока—Слейтера. Использованы оптимизированные по Шварцу значения обменных параметров: $\alpha_p=0,726$, $\alpha_o=0,744$, а для межатомных и внешней сфер взято среднее значение. Применена версия метода Х α -РВ с перекрывающимися атомными сферами. Как и в случае рассчитанной ранее молекулы аммиака для улучшения результатов включены две дополнительные сферы, центры к-рых помещены

Магнитное
строение
и магнитные
свойства

X. 1983, 19, N 17

ны на C_3 -оси ($r_P = 1,915$, $r_0 = 1,747$, сфера Ватсона — 4,676 ат. ед.). В указанных сферах в разложениях использованы парциальные волны с $l=2$, 1 и 3 соотв. Представлены полученные данные по одноэлектронным уровням, распределению заряда в различных областях радикала, величинам тензоров сверхтонкого взаимодействия (изотропного, анизотропного) на ядрах ^{31}P и ^{17}O , а также спиновые плотности от различных орбиталей на этих же атомах. Полученные данные хорошо согласуются с экспериментальными, причем данные по спиновым плотностям воспроизведены практически точно. Путем расчета контактного члена тензора сверхтонкого взаимодействия на обоих ядрах в рамках CO и CH₃ метода ХФС показано, что ~20% фермиевской контактной энергии связано с поляризацией остовых уровней. При этом введение доп. сфер незначительно изменяет рассчитанные значения.

С. Долин

PO_3^{2-}

On. 16607 1983

8 Д330. Электронная структура и магнитные свойства радикала PO_3^{2-} . Исследование методом молекулярных орбиталей. Electronic structure and magnetic properties of the PO_3^{2-} radical. A molecular-orbital study. Weber Jacques, Cornioley Yves, Geoffroy Michel. «Chem. Phys. Lett.», 1983, 96, № 6, 636—640 (англ.)

Проведены расчеты тензоров магн. сверхтонкого взаимодействия для ядер ^{31}P и ^{17}O радикала PO_3^{2-} в двух вариантах Х α -метода: спин-поляризованном и спин-неполяризованном. Определены также спиновые плотности на различных орбиталях этих двух атомов. Получено хорошее согласие расчетов с эксперим. результатами ЭПР. Показано, что ~20% ферми-контактной связи обусловлено поляризацией внутренних оболочек.

Резюме.

Электрон-
структура
и магнит-
св-ва

99. 1983, 18, N8

РДЗ-

[Om. d3337]

1986

Коновалов С. Г.,

Солдатовецк В. Г.

расчи-

тавшие

ab initio

характе-

координац. хим. структ.,

1986, 12, N 4, 463-

● - 469.

PO_3

(On. 27041)

1987

PO_3^-

Lohr L.L., Boehm R.C.,

raconic
confor.
nonemp;
Hep.;
ab initio
pacem

J. Phys. Chem., 1987, 91,
N12, 3203-3207,

(cal. HOPD; II)

PO₃⁻

Om. 27154/

1987

Rajca A., Rice J.E.,
Streitwieser A., Li,
et al.,
J. Amer. Chem. Soc.,
1987, 109, N14, 4189-4192.

PO₃

[Om. 30204]

1988

Withnall R., Andrews L.,

UK creamer
J. Phys. Chem., 1988,
vol. 92, N 16, 4610 - 4619.

PO_3

1989

Chekrop

8

Maespuye

Withnall Robert,
McCleskey Matthew,
et al.

J. Phys. Chem. 1989,
93 (1), 126-9.

(see. PO_2 ; ")

PO_3^-

1991

116: 28391r Comparison of the electronic structure of the phosphorus-oxygen and phosphorus-sulfur bonds. Basch, Harold; Krauss, M.; Stevens, W. J. (Dep. Chem., Bar Ilan Univ., Ramat Gan, Israel). THEOCHEM 1991, 81(3-4), 277-91 (Eng). The electronic structures of the P-O and P-S bonds were compared in PO_3^- , HPO_3^- , H_2PO_4^- , H_3PO_4 and their monosubstituted sulfur analogs. Plots of the charge difference d. around the P-X (X = O or S) bond support a polar structure for both the oxygen and the sulfur anions. The proton affinities and the binding of a single water mol at the oxygen and sulfur sites are comparable, illustrating the polarity of both the P-O and the P-S bond. The energy surface for the phosphate and the phosphorothioate anions as a function of the torsional angle for the orientation of the O-H bonds also demonstrates the polarity of the two bonds. Difference d. plots comparing the neutral and ionic phosphates suggest that this bond is also similar in both neutral and ionic systems. An ionic P-O and P-S bond provides a better representation of the structure than a double bond, even for the neutral mols.

(neop. paren)

Kapitner

Chen

(+3)

C.A. 1992, 116, N 4

F: PO3

P: 3

132:28092 Vibrationally resolved photoelectron spectroscopy of PO₃⁻ and the electronic structure of PO₃. Wang, Xue-Bin; Wang, Lai-Sheng

Department of Physics, Washington State University Richland, WA 99352, USA Chem.

Phys. Lett., 313(1,2), 179-183 (English) 1999 A vibrationally resolved photoelectron spectrum was obtained for PO₃⁻ at 193 nm in the gas phase. Transitions to the ground (X₂A'2) and 1st excited state (A₂E) of PO₃ were obsd. The current spectrum represents the 1st observation of the 2E state, which splits into 2 states, 2B₁ and 2A₂, due to the Jahn-Teller effect. The 2A'2 ground state shows a vibrational

1999

C.A.2000, 132

progression in the .nu.1 sym. stretching mode with a frequency of 1000(10 cm⁻¹). The adiabatic electron affinity of PO₃ is very high, 4.95 (0.06) eV. The 2B₁ and 2A₂ states of PO₃ show very broad features due to the large geometry changes between these states and the anion ground state.

F: PO3-

P: 3

132:28092 Vibrationally resolved photoelectron spectroscopy of PO₃⁻ and the electronic structure of PO₃. Wang, Xue-Bin; Wang, Lai-Sheng

Department of Physics, Washington State University Richland, WA 99352, USA Chem. Phys. Lett., 313(1,2), 179-183 (English) 1999 A vibrationally resolved photoelectron spectrum was obtained for PO₃⁻ at 193 nm in the gas phase. Transitions to the ground (X₂A'²) and 1st excited state (A₂E) of PO₃ were obsd. The current spectrum represents th 1st observation of the 2E state, which

1999

C.A. 2000, 132

splits into 2 states, 2B1 and 2A2, to the Jahn-Teller effect. The 2A'2 ground state shows a vibrational progression in the ν_1 sym. stretching mode with a frequency of 1000(10 cm⁻¹). The adiabatic electron affinity of PO₃ is very high, 4.95 (0.06) eV. The 2B1 and 2A2 states of PO₃ show very broad features due to the large geometry changes between these states and the anion ground state.